



ریسمان‌های سیاه چرخان در گرانش اینشتینی مرتبه سه با الکترودینامیک بورن-اینفلد

حمید رضا بختیاری‌زاده^{۱*} و حنیف گلچین^۲

۱. گروه آموزشی نانوفناوری، دانشگاه تحصیلات تکمیلی صنعتی و فناوری پیشرفت، کرمان

۲. دانشکده فیزیک، دانشگاه شهید باهنر کرمان، کرمان

* پست الکترونیکی: h.bakhtiarizadeh@kgut.ac.ir

(دریافت مقاله: ۱۴۰۱/۳/۹؛ دریافت نسخه نهایی: ۱۴۰۱/۴/۱۲)

چکیده

در این مقاله جواب‌های ریسمان سیاه چرخان به طور مجانبی پاد-دوسیته را برای گرانش اینشتینی مرتبه سه در حضور الکترودینامیک غیرخطی بورن-اینفلد مورد بررسی قرار می‌دهیم. با این فرض که جواب‌ها روی افق به طور کامل منظم هستند و نیز مطالعه رفتار مجانبی و نزدیک افق جواب‌ها، دمای هاوکینگ، آنتروپی والد، جرم، اندازه حرکت زاویه‌ای، بار و پتانسیل الکترواستاتیکی را به طور مستقل محاسبه کرده و نشان می‌دهیم. قانون اول ترمودینامیک برای ریسمان‌های سیاه چرخان باردار با چشمۀ غیرخطی بورن-اینفلد برای گرانش اینشتینی مرتبه سه به شکل دقیق برقرار است. همچنین نشان خواهیم داد هنگامی که پارامتر غیرخطی به سمت بی‌نهایت میل می‌کند، جواب‌ها به سمت جواب‌های به دست آمده از الکترودینامیک ماسکول میل می‌کنند.

واژه‌های کلیدی: ریسمان سیاه چرخان، گرانش اینشتینی مرتبه سه، الکترودینامیک بورن-اینفلد.

سه خمث گرانش شبه‌توپولوژیک تعمیم یافته نامیده می‌شود [۸-۱۴]، که در این نظریه برای زمینه‌های خلا و با تقارن کروی، معادلات حرکت به یک معادله یکتا کاهش می‌یابند. همچنین معادلات خطی شده حول یک پس‌زمینه با تقارن بیشینه از مرتبه دوم هستند [۶ و ۱۲-۸]. در این نظریه، گرانش‌های لاولاک و شبه‌توپولوژیک را که با یک معادله جبری مشخص می‌شوند می‌توان به شکل حالت‌های خاص در چهار بعد بازیابی کرد.

۱. مقدمه

یکی از رایج‌ترین رهیافت‌ها در تصحیح نظریه نسبیت عام، در نظر گرفتن جملات مرتبه بالاتر خمث است. علاوه بر چگالی‌های لاولاک [۱۱]، که در چهار بعد توپولوژیک و بدیهی هستند، دسته‌دیگری از نظریه‌ها موسوم به گرانش‌های شبه‌توپولوژیک [۲ و ۳] وجود دارند که جواب‌های سیاه‌چاله‌ای ایستای تحلیلی در ابعاد بالاتر از چهار دارند. کلی‌ترین نظریه گرانش تا مرتبه

گرانشی حتی ممکن است کنش مؤثر انرژی پایین یک نظریه گرانش کوانتمی از جمله نظریه ریسمان باشد. به طور کلی کنش نظریه گرانش ممکن است شامل جملات مرتبه بالاتر خمس یا جملات مرتبه بالاتر پتانسیل پیمانه‌ای باشد. مطالعه حاضر به ما این امکان را می‌دهد که هر دو مورد را بررسی کنیم. مزیت الکترودینامیک غیرخطی در قیاس با الکترودینامیک خطی ماسکول این است که از بروز واگرایی‌ها در مبدأ جلوگیری می‌کند و به یک میدان الکتریکی متناهی بر روی ذرات نقطه‌ای می‌انجامد.

ساختار مقاله به شرحی است که در ادامه می‌آید. در ابتدا کنش گرانش اینشتینی مرتبه سه را در فضا-زمان به طور مجانبی پاد-دوسیته و در حضور چشمۀ بورن-اینفلد نوشتۀ و سپس معادلات حرکت را با وردش کنش نسبت به توابع متربک استخراج می‌کنیم. سپس جواب مجانبی برای فواصل دوردست را برای معادلات حرکت می‌یابیم. با استفاده از بسط تیلور تابع متربک حول شعاع افق و جایگذاری آن در معادله حرکت و در نظر گرفتن دو معادله اول پایین‌ترین مرتبه بسط و حل آنها، عبارت‌های دقیقی برای جرم ریسمان سیاه و نیز گرانش سطحی می‌یابیم. سپس آنتروپی و الد^۱، جرم و اندازه حرکت زاویه‌ای کل را محاسبه کرده و با محاسبه بار کل و پتانسیل الکترواستاتیکی برای جواب‌ها، به عنوان یک آزمون سازگاری روی جواب‌ها، نشان می‌دهیم که جواب‌ها در قانون اول ترمودینامیک برای سیاه‌چاله‌ها صدق می‌کنند. قسمت آخر مقاله نیز به بحث و نتیجه‌گیری در مورد جواب‌ها اختصاص داده شده است.

۲. کنش و معادلات حرکت

کنش گرانش اینشتینی مرتبه سه [۱۳] در حضور الکترودینامیک غیرخطی بورن-اینفلد به شکل زیر نوشته می‌شود:

$$S = \int d^4x \sqrt{-g} \left[\frac{1}{16\pi G} (R - 2\Lambda - 2G^\mu_\nu \lambda P) + L(F) \right], \quad (1)$$

که در آن G ثابت گرانش نیوتون، R نرده‌ای ریچی، و $\Lambda = -l^3/l^3$ ثابت کیهان‌شناسی منفی فضای پاد-دوسیته است.

آخریًّا نشان داده شده است که تا مرتبه سه خمس نظریه‌ای موسوم به گرانش اینشتینی مرتبه سه، به عنوان کلی ترین تصحیح خمس بالاتر از گرانش اینشتین وجود دارد که تنها گراویتون بدون رد و عرضی معمول را روی پس‌زمینه‌های به شکل بیشینه مقارن و در ابعاد کلی انتشار می‌دهد [۱۲]. این نظریه تعمیم تک-تابعی از سیاه‌چاله شوارسی‌شیلد، مشابه با نظریه‌های لاولاک و شبیه توپولوژیک، را در ابعاد بیشتر از چهار به خود می‌گیرد [۱۴ و ۱۵].

اندکی پس از کشف نظریه گرانش اینشتینی مرتبه سه، نظریه‌های شامل جملات مرتبه چهار خمس معرفی شدند [۶] و همچنین نشان داده شد که نظریه‌های شبیه توپولوژیک تعمیم‌یافته می‌توانند از توانهای دلخواه خمس و در بعد دلخواه ساخته شوند [۸]. به عنوان مثال در [۷] رفتار ترمودینامیکی جواب‌های سیاه‌چاله‌ای به طور مجانبی پاد-دوسیته در گرانش شبیه-توپولوژیک تعمیم‌یافته شامل جملات مرتبه سه و چهار خمس مورد بررسی قرار گرفته‌اند. به عنوان یک آزمون پدیده‌شناسنخانه، اثرات لنز گرانشی سیاه‌چاله‌های مقارن کروی در گرانش اینشتینی مرتبه چهار در [۱۶] بررسی شده‌اند. همچنین در [۱۷] نویسنده‌گان یک تقریب تحلیلی برای جواب سیاه‌چاله‌ای مقارن کروی به دست آورده‌اند.

جواب‌های ریسمان‌های سیاه چرخان، که در واقع همان سیاه‌چاله‌های با تقارن استوانه‌ای هستند، در [۱۸ و ۱۹] مورد بررسی قرار گرفته‌اند. خواص ترمودینامیکی این جواب‌ها نیز در [۲۰ و ۲۱] مورد مطالعه قرار گرفته‌اند. همچنین جواب‌های ریسمان سیاه چرخان در حضور یک چشمۀ غیرخطی در [۲۲ و ۲۳] مورد کاوش قرار گرفته‌اند. در این مقاله قصد داریم جواب‌های ریسمان سیاه چرخان به طور مجانبی پاد-دوسیته را در گرانش اینشتینی مرتبه سه خمس و در حضور الکترودینامیک بورن-اینفلد مورد بررسی قرار دهیم. این جواب‌ها در حقیقت تعمیم کار انجام شده در [۲۴] است به نحوی که الکترودینامیک بورن-اینفلد را در بر گیرد. اضافه کردن جملات مرتبه بالاتر خمس به کنش هیبریت-ایشتین می‌تواند به یک نظریه باز بهنجار بینجامد. کنش این نظریات

^۱. Wald entropy

که در آن پرایم بر مشتق‌گیری نسبت به r دلالت می‌کند در معادله بالا، $F_r(a, b; c; z)$ تابع فوق هندسی گوسی است و ثابت انتگرال‌گیری r نیز با جرم ریسمان به شکل $= GM/r$ متناسب است.

از طرفی پتانسیل برداری و مؤلفه‌های غیرصفر تانسور شدت میدان الکترومغناطیسی نیز با روابط زیر داده می‌شوند:

$$\begin{aligned} A_a &= h(r) \left(\Xi \delta_a^t - a \delta_a^\phi \right); \\ F_{tr} &= -F_{rt} = -\Xi h'(r), \\ F_{\phi r} &= -F_{r\phi} = ah'(r), \end{aligned} \quad (8)$$

با در دست داشتن تانسور شدت میدان الکترومغناطیسی می‌توان نشان داد که وردش کنش (۱) نسبت به $h(r)$ یا به طور معادل مؤلفه‌های t و ϕ معادله ماقسول $\nabla_a F^{ab} = 0$ ، به معادله زیر می‌انجامند:

$$2h'^3 - b^2 (2h' + rh'') = 0, \quad (9)$$

در نوشتن رابطه بالا از جواب $g = 1$ استفاده شده است. حل

این معادله، به مقدار زیر برای $h(r)$ می‌انجامد:

$$h(r) = -\frac{q}{r} {}_2F_1\left(\frac{1}{2}, \frac{1}{4}; \frac{5}{4}; -\frac{q^2}{b^2 r^4}\right), \quad (10)$$

که در آن ثابت انتگرال‌گیری q در حقیقت همان بار ریسمان سیاه است.

جواب مجانبی

همان‌طور که از معادله (۷) دیده می‌شود، هنگامی که $\lambda = 0$ ، عبارت زیر را برای تابع متريک f به دست می‌آوریم:

$$f = \frac{r^3}{l^3} - \frac{GM}{r} + \frac{2}{3} G \left[b \left(br^3 - \sqrt{q^3 + b^2 r^4} \right) + \frac{q^2}{r^3} {}_2F_1\left(\frac{1}{2}, \frac{1}{4}; \frac{5}{4}; -\frac{q^2}{b^2 r^4}\right) \right], \quad (11)$$

که در نوشتن آن از $-3/l^3 = \Lambda$ و $GM/r = g$ استفاده کرده‌ایم. همان‌طور که انتظار می‌رفت، این جواب چیزی جز جواب ریسمان سیاه باردار چرخان در حضور الکترودینامیک بورن-اینفلد برای گرانش اینشتینی نیست [۲۲]. همچنین می‌توانیم رفتار جواب در r ‌های بزرگ را مورد بررسی قرار دهیم. بدین منظور فرض می‌کنیم بتوان f را به شکل یک جواب خصوصی به شکل بسط $\frac{1}{r}$ به علاوه جواب عمومی معادله همگن متناظر نوشت:

در کنش بالا تصحیحات مرتبه سه خمث به کنش اینشتین-هیلبرت با رابطه زیر داده می‌شوند:

$$P = 12R_a^c b^d R_c^e d^f R_e^a f^b + R_{ab}^{cd} R_{cd}^{ef} R_{ef}^{ab} - 12R_{abcd} R^{ac} R^{bd} + 8R_a^b R_b^c R_c^a, \quad (2)$$

همچنین لاگرانژی الکترودینامیک غیرخطی بورن-اینفلد با

$$L(F) = b^2 \left(1 - \sqrt{1 + \frac{F}{b^2}} \right), \quad (3)$$

داده می‌شود. در اینجا b یک پارامتر غیرخطی و $F = F_{ab} F^{ab}$ تانسور شدت میدان الکترومغناطیسی که در آن $F_{ab} = 2\partial_{[a} A_{b]}$ و A_a پتانسیل پیمانه‌ای است. هنگامی که b به سمت بی‌نهایت میل می‌کند، $L(F)$ به لاگرانژی معمول خطی ماقسول، یعنی $F/4$ میل می‌کند. در این مقاله فرض می‌کنیم ثابت جفت‌شدگی گرانش اینشتینی مرتبه سه یعنی λ غیرمنفی باشد. همچنین فرض زیر را برای فضا زمان متقارن استوانه‌ای در نظر می‌گیریم:

$$\begin{aligned} ds^r &= -f(r) g^r(r) (\Xi dt - ad\phi)^r + \frac{1}{f(r)} dr^r + \\ &\quad \frac{r^r}{l^r} (adt - \Xi l^r d\phi)^r + \frac{r^r}{l^r} dz^r, \end{aligned} \quad (4)$$

که در آن

$$\Xi = \sqrt{1 + a^2/l^2}, \quad (5)$$

در متريک (۴) ثوابت a و λ بعد طول دارند و به ترتیب به عنوان پارامتر چرخش و شعاع پادوسیته تعبیر می‌شوند. محدوده تغییر مختصه‌های زمانی و شعاعی عبارت است از $0 \leq r < \infty$ ، $-\infty < t < \infty$ ، $-\infty < z < \infty$ با حدود $0 \leq \phi < 2\pi$. است که یک ریسمان سیاه پایا را توصیف می‌کند.

برای یافتن معادلات حرکت، از رهیافت به کار رفته در [۱۴] و [۱۵] برای فضا-زمان‌های متقارن کروی بهره می‌بریم. در نظر گرفتن کنش به عنوان تابعی از f و g و وردش آن نسبت به این دو تابع، به معادلات حرکت به شکل (۶) و (۷) می‌انجامد

$$g'(r) = 0, \quad (6)$$

که می‌توان جواب آن را به شکل $1 = g$ در نظر گرفت.

$$\begin{aligned} -rf - G^2 \lambda \left[4f'^3 - 12ff'' - 24 \frac{f^2(f' - rf'')}{r^2} \right] &= \frac{1}{3} \Lambda r^3 + r_0 - \frac{2}{3} G \\ \left[br \left(br^3 - \sqrt{q^3 + b^2 r^4} \right) + \frac{q^2}{r} {}_2F_1\left(\frac{1}{2}, \frac{1}{4}; \frac{5}{4}; -\frac{q^2}{b^2 r^4}\right) \right]. \end{aligned} \quad (7)$$

$a_n = f^{(n)}(r_h)/n!$ ، که در آن $f(r) = \sum_{n=1}^{\infty} a_n (r - r_h)^n$ جایگذاری آن در معادله (۷) و سپس حل مرتبه به مرتبه بر حسب توان‌های $(r - r_h)$ ، دو معادله مربوط به پایین‌ترین مرتبه داده می‌شوند:

$$\frac{r_h}{l^\gamma} - GM - ۳۴G^\gamma \lambda \kappa_g \Xi^\gamma + \frac{\gamma}{\gamma} G \left[\frac{br_h}{r_h} \left(br_h - \sqrt{q^\gamma + b^\gamma r_h^\gamma} \right) + \frac{q^\gamma}{r_h} \Gamma F \left(\frac{1}{\gamma}, \frac{1}{\gamma}; \frac{5}{\gamma}; -\frac{q^\gamma}{b^\gamma r_h^\gamma} \right) \right] = ۰, \quad (۱۶)$$

و

$$\frac{۳r_h}{l^\gamma} - ۴\kappa_g \Xi r_h + ۴Gb \left(br_h - \sqrt{q^\gamma + b^\gamma r_h^\gamma} \right) = ۰, \quad (۱۷)$$

که می‌توان با استفاده از آنها جرم و گرانش سطحی $\kappa_g = f'(r_h)/2\Xi$ را به دست آورد و به ترتیب جواب‌های زیر را دارند:

$$\kappa_g = \frac{1}{\gamma \Xi r_h} \left[r_h \left(\gamma b^\gamma G + \frac{\gamma}{l^\gamma} \right) - \gamma b G \sqrt{q^\gamma + b^\gamma r_h^\gamma} \right], \quad (۱۸)$$

$$M = \frac{r_h}{Gl^\gamma} - \frac{4G\lambda}{r_h} \left[r_h \left(\gamma b^\gamma G + \frac{\gamma}{l^\gamma} \right) - \gamma b G \sqrt{q^\gamma + b^\gamma r_h^\gamma} \right] + \frac{4q^\gamma}{\gamma r_h} \Gamma F \left(\frac{1}{\gamma}, \frac{1}{\gamma}; \frac{5}{\gamma}; -\frac{q^\gamma}{b^\gamma r_h^\gamma} \right) + \frac{\gamma}{\gamma} br_h \left(br_h - \sqrt{q^\gamma + b^\gamma r_h^\gamma} \right), \quad (۱۹)$$

این مقادیر در استخراج ترمودینامیک سیستم در بخش بعدی نقشی اساسی ایفا می‌کنند. از حل معادلات در مرتبه‌های بالاتر می‌توان سایر مقادیر a_n به ازای $n > 2$ را بر حسب a_2 به دست آورد. به عنوان یک بررسی سازگاری می‌توان دید که روابط بالا به ازای $\gamma \rightarrow \infty$ به نتایج متناظر به دست آمده در [۲۴] برای الکترودینامیک خطی ماسکول میل می‌کنند.

ترمودینامیک

آنتروپی بکنشتاین-هاوکینگ در یک نظریه گرانشی خمین مرتبه بالاتر با جملات اضافی تصحیح می‌شود. این تصحیحات را می‌توان از رابطه آنتروپی والد [۲۶ و ۲۷] به شکل

$$S = -2\pi \int_H d^4x \sqrt{\gamma} \frac{\delta L}{\delta R_{abcd}} \varepsilon_{ab} \varepsilon_{cd}, \quad (۲۰)$$

به دست آورد. در این رابطه، $\frac{\delta L}{\delta R_{abcd}}$ مشتق اویلر-

لاگرانژ لاغرانژی گرانشی، و γ دترمینان متريک القا شده روی

$$f = f_{\gamma r} + f_h, \quad f_{\gamma r}(r) = \frac{r^\gamma}{l_{eff}^\gamma} + \sum_{n=1}^{\infty} \frac{b_n}{r^n}, \quad (۱۲)$$

که در آن l_{eff} شعاع مؤثر فضای پاد-دوسيته است که ريشهٔ حقيقي و مثبت معادله‌اي است که در ادامه می‌آيد. با جایگذاری عبارت بالا در معادله (۷) می‌توان دید که بسط r بزرگ به شكل زير در می‌آيد:

$$f_{\gamma r}(r) = \frac{r^\gamma}{l_{eff}^\gamma} - \frac{G_{eff} M}{r} + \frac{G_{eff} q^\gamma}{r^\gamma} - \frac{G_{eff} q^\gamma}{\gamma b^\gamma r^\gamma}, \quad (۱۳)$$

که در آن از اين حققت بهره برده‌ایم که تابع فوق هندسى $F(a, b; c; z)$ به ازاي $1 < |z|$ يك بسط سري همگرا دارد [۲۵]. می‌توان دید که در حد $\gamma \rightarrow \infty$ ، نتیجه همان است که در [۲۴] برای الکترودینامیک خطی ماسکول به دست آمد. همچنان با جایگذاری عبارت (۱۲) در معادله (۷) و بسط معادله در حد r های بزرگ می‌توان دید شعاع مؤثر فضای پاد-دوسيته که در معادله بالا ظاهر می‌شود ريشهٔ حقيقي و مثبت معادله زير است [۲۴]:

$$\frac{16G^\gamma \lambda}{l_{eff}^\gamma} - \frac{1}{l_{eff}^\gamma} + \frac{1}{l^\gamma} = ۰, \quad (۱۴)$$

همچنان ثابت گرانشی مؤثر نيز با رابطه زير تعریف می‌شود: [۲۴]

$$G_{eff} = \frac{G}{1 - \frac{G^\gamma \lambda}{l_{eff}^\gamma}}, \quad (۱۵)$$

از طرفی در حد r های بزرگ سهم جواب معادله همگن در مقایسه با سهم جواب معادله غيرهمگن، قابل چشم‌پوشی است و در نتیجه معادله (۱۳) به تنهايي جواب مجاني را به دست می‌دهد [۲۴].

جواب نزديك افق

با فرض اين که تابع متريک f روی افق کاملا منظم باشد و بسط تيلور آن حول شعاع افق به صورت

۱. همان طور که از معادله (۷) دیده می‌شود روی افق رويداد، يعني هنگامي $f = ۰$ ، جمله‌اي که در f ضرب شده، صفر می‌شود. اين امر باعث مشتق‌ناپذير بودن برخخي جواب‌ها روی افق رويداد می‌شود. بنابراین اعمال اين فرض که افق منظم باشد يك محدوديت ضروري است.

$$S_b = \frac{C(l_{eff})}{\pi G} \int_{\partial M} d^3x \sqrt{-\gamma} \Theta, \quad (27)$$

که در آن γ دترمینان متريک القا شده روی مرز، Θ رد خمش خارجي^۱ مرز يعني Θ_{ab} و $C(l_{eff})$ ثابتی است که به خمش زمينه بستگی دارد و با عبارت زير داده می شود:

$$C(l_{eff}) = -\frac{l_{eff}}{\epsilon} L|_{AdS}, \quad (28)$$

که در آن $L|_{AdS}$ لاگرانژی نظریه متناظر محاسبه شده روی پس-زمینه AdS با مقیاس خمش l_{eff} است. ما از رهیافت کانترترم^۲ برای حذف واگرایی های کنش استفاده می کنیم. برای کنش گرانش اینشتینی مرتبه سه، جملاتی که در چهار بعد کنش را متناهی می سازند چنین اند:

$$S_{ct} = \frac{C(l_{eff})}{\pi G} \int_{\partial M} d^3x \sqrt{-\gamma} \left(\frac{2}{l_{eff}} - \frac{l_{eff}}{2} \mathfrak{R} \right), \quad (29)$$

که در آن \mathfrak{R} نرده ای ریچی برای متريک مرزی γ است. کنش کل به شکل ترکیب خطی کنش حجمی، سطحی و جملات اضافی نوشته می شود

$$S_{total} = S + S_b + S_{ct}. \quad (30)$$

با در دست داشتن کنش کل متناهی، می توان از تعریف براون-یورک برای تانسور تنش استفاده کرد و با وردش کنش نسبت به متريک مرزی γ_{ab} ، تانسور تنش همگرای

$$T^{ab} = \frac{1}{\pi G_{eff}} \left(\Theta^{ab} - \Theta \gamma^{ab} + \frac{2}{l_{eff}} \gamma^{ab} - \frac{l_{eff}}{2} G^{ab} \right), \quad (31)$$

را یافت که در آن $G_{ab} = \mathfrak{R}_{ab} - \mathfrak{R}\gamma_{ab}$ تانسور اینشتین برای متريک مرزی γ_{ab} است. برای جواب های به طور مجانبی پاد-دوسيته با افق تخت $\mathfrak{R}_{abcd}(\gamma) = 0$ ، تنها جمله اضافی غیرصفر، جمله اول در (۲۹) است، که به تانسور تنش تا حد جمله سوم در (۳۱) می انجامد. با استفاده از اين تانسور تنش می توان کمیت های پایسته شبهموضعی را برای فضا زمان های به طور مجانبی پاد-دوسيته به شکل زير تعریف کرد:

$$Q_\xi = \int_{\Sigma} d^3x \sqrt{\sigma} u^a T_{ab} \xi^b, \quad (32)$$

در رابطه بالا $-N\delta_a^0 = u^a$ و N و σ به ترتیب تابع گذار^۳ و

افق است. تانسور پادمتقارن \mathcal{E}_{ab} نيز که در شرط بهنگارش $-2\mathcal{E}_{ab}\mathcal{E}^{ab} =$ صدق می کند از رابطه زير به دست می آيد:

$$\nabla_a \chi_b = \kappa_g \mathcal{E}_{ab}, \quad (21)$$

که در آن مولد نورگونه افق ريسمان با رابطه

$$\chi = \partial_t + \Omega \partial_\phi, \quad (22)$$

داده می شود. در رابطه بالا $\Omega = a/l^2 \Xi$ سرعت زاويه ای افق است. با استفاده از رابطه (۲۱) می توان مؤلفه های غيرصفر تانسور پادمتقارن \mathcal{E}_{ab} را به شکل زير یافت:

$$\varepsilon_{tr} = -\varepsilon_{rt} = -\Xi, \quad \varepsilon_{r\phi} = -\varepsilon_{\phi r} = -a, \quad (23)$$

آنتروپی (۲۰) برای گرانش اینشتینی مرتبه سه به شکل زير در می آيد:

$$S = \frac{1}{4G} \int_H d^3x \sqrt{\gamma} \left[1 + G^2 \lambda \left(\frac{2\mathfrak{R} b^e d^f R_{aef} + 2R_{ab}^{ef} R_{cdef} - }{11R_{ac}R_{db} - 2\mathfrak{R}^{ef} R_{eafc} g_{bd} + 2g_{bd} R_{ce} R^e_a} \right) \varepsilon^{ab} \varepsilon^{cd} \right], \quad (24)$$

برای متريک (۴) با يك افق استوانه ای، نتيجه زير را برای آنتروپی بر واحد طول ريسمان سياه چرخان بدون بار به دست می آوريم:

$$S = \frac{\pi r_h^3 \Xi}{2G} \left\{ 1 - \frac{12G^2 \lambda}{r_h^4} \left[r_h^2 \left(2b^2 G + \frac{3}{l^2} \right) - 2bG \sqrt{q^2 + b^2 r_h^4} \right] \right\}, \quad (25)$$

که در آن از رابطه $f'(r_h) = 2\kappa_g \Xi$ و همچنین رابطه (۱۸) برای نوشتن فرمول نهايی برحسب شعاع افق استفاده شده است. مشاهده می شود هنگامی که b به سمت بي نهايت ميل می کند، عبارت بالا به نتيجه به دست آمده برای آنتروپی در [۲۴] يعني آنتروپی در حضور ميدان ماكسول ميل می کند. دمای هاوکینگ برحسب شعاع افق با رابطه زير داده می شود:

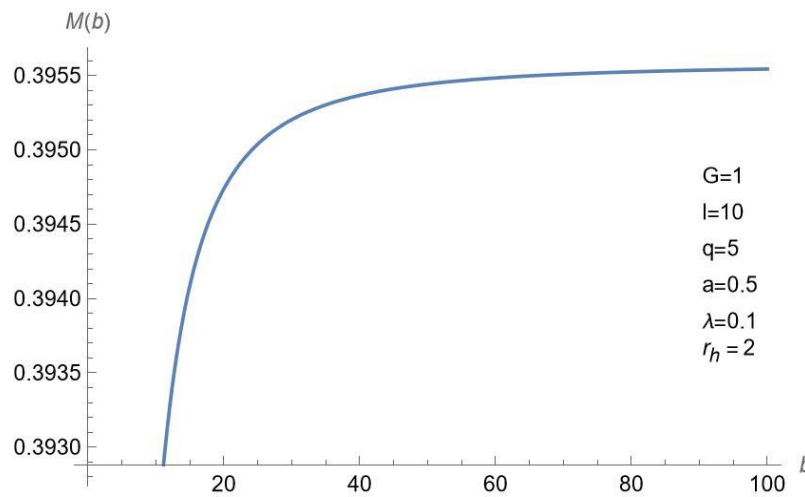
$$T = \frac{\kappa_g}{\pi} = \frac{1}{4\pi \Xi r_h} \left[r_h^2 \left(2b^2 G + \frac{3}{l^2} \right) - 2bG \sqrt{q^2 + b^2 r_h^4} \right]. \quad (26)$$

اين بخش را با محاسبه جرم و اندازه حرکت زاويه ای ريسمان سياه به پایان می بريم. بدین منظور جمله مرزی گیبونز-هاوکینگ را، که واگرایی های کنش (۱) را حذف می کند، به کنش اضافه می کنیم. در اينجا کنش مرزی مناسب با عبارت زير داده می شود:

۱. Extrinsic curvature

۲. Counterterm

۳. Lapse function



شکل ۱. نمودار تغییرات جرم M بر حسب پارامتر غیرخطی b . با جایگذاری مقادیر داده شده در نمودار برای سایر پارامترها در رابطه (۳.۱۹) مرجع [۲۴]، مقدار $M = ۰ / ۳۹۵۵۷۸$ به دست می‌آید که مقدار مجانبی منحنی بالا است.

$$M = \frac{1}{\lambda l} \left(\Xi^{\frac{1}{2}} - 1 \right) \left\{ \frac{r_h^{\frac{1}{2}} - \frac{\sqrt{G}\lambda}{r_h^{\frac{1}{2}}} \left[r_h^{\frac{1}{2}} \left(\sqrt{b^{\frac{1}{2}} G + \frac{r}{l^{\frac{1}{2}}}} \right) \right]^{\frac{1}{2}}}{Gl^{\frac{1}{2}}} - \frac{q^{\frac{1}{2}}}{\sqrt{r_h}} F_1 \left(\frac{1}{4}, \frac{1}{2}; \frac{5}{4}; -\frac{q^{\frac{1}{2}}}{b^{\frac{1}{2}} r_h^{\frac{1}{2}}} \right) + \frac{b r_h}{\sqrt{q^{\frac{1}{2}} + b^{\frac{1}{2}} r_h^{\frac{1}{2}}}} \right\}, \quad (36)$$

$$J = \frac{3}{\lambda} \sqrt{\Xi^{\frac{1}{2}} - 1} \left\{ \frac{r_h^{\frac{1}{2}} - \frac{\sqrt{G}\lambda}{r_h^{\frac{1}{2}}} \left[r_h^{\frac{1}{2}} \left(\sqrt{b^{\frac{1}{2}} G + \frac{r}{l^{\frac{1}{2}}}} \right) - \sqrt{b G \sqrt{q^{\frac{1}{2}} + b^{\frac{1}{2}} r_h^{\frac{1}{2}}}} \right]^{\frac{1}{2}}}{Gl^{\frac{1}{2}}} + \frac{q^{\frac{1}{2}}}{\sqrt{r_h}} F_1 \left(\frac{1}{4}, \frac{1}{2}; \frac{5}{4}; -\frac{q^{\frac{1}{2}}}{b^{\frac{1}{2}} r_h^{\frac{1}{2}}} \right) + \frac{b r_h}{\sqrt{q^{\frac{1}{2}} + b^{\frac{1}{2}} r_h^{\frac{1}{2}}}} \right\}, \quad (37)$$

که در آنها از رابطه (۱۴) برای نوشتن نتیجهٔ نهایی بر حسب شعاع افق استفاده شده است (برای جزئیات بیشتر شکل‌های ۱ و ۲ را ببینید).

پتانسیل الکتریکی اندازه‌گیری شده در بینهایت نسبت به افق با رابطه زیر تعریف می‌شود:

$$\Phi = A_a \chi^a \Big|_{r \rightarrow \infty} - A_a \chi^a \Big|_{r=r_h}, \quad (38)$$

محاسبه عبارت بالا به مقدار زیر برای پتانسیل الکتریکی می‌انجامد:

$$\Phi = \frac{q}{\Xi r_h} F_1 \left(\frac{1}{4}, \frac{1}{2}; \frac{5}{4}; -\frac{q^{\frac{1}{2}}}{r_h^{\frac{1}{2}} b^{\frac{1}{2}}} \right), \quad (39)$$

متريک سطح فضاگونه Σ هستند که در تجزیه ADM-گونه متريک مرزی ظاهر می‌شوند

$$\gamma_{ij} dx^i dx^j = -N^2 dt^2 + \sigma_{ab} (dx^a + V^a dt) (dx^b + V^b dt), \quad (33)$$

که در آن V^a بردار انتقال است. برای به دست آوردن جرم کل بايستی قرار دهیم $\partial_t = \vec{\nabla}$ ، یعنی بردار کیلینگ^۱ متناظر با مختصهٔ زمانی t و برای به دست آوردن اندازه حرکت زاویه‌ای کل بايستی قرار دهیم $\partial_\phi = \vec{\nabla}$ ، یعنی بردار کیلینگ متناظر با مختصهٔ زاویه‌ای ϕ . با استفاده از تعریف (۳۲)، جرم و اندازه حرکت زاویه‌ای کل بر واحد طول ریسمان نیز به ترتیب با

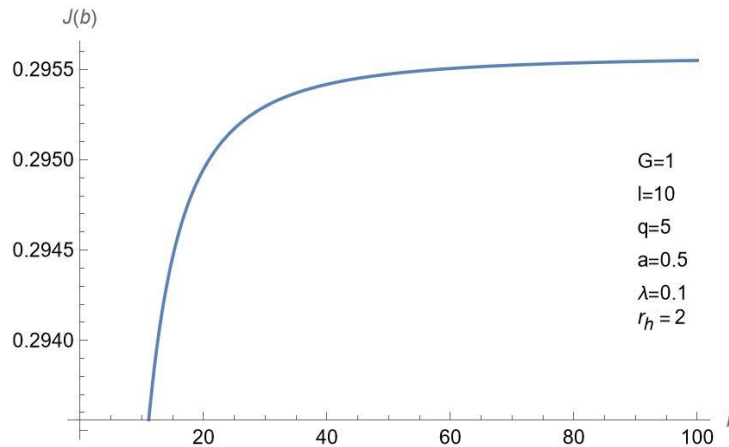
$$M = \frac{1}{\lambda l} (\Xi^{\frac{1}{2}} - 1) M, \quad (34)$$

و

$$J = \frac{3}{\lambda l} \Xi a M = \frac{3}{\lambda} \sqrt{\Xi^{\frac{1}{2}} - 1} M, \quad (35)$$

داده می‌شوند که در نوشتن تساوی آخر از رابطه (۵) استفاده کردایم. جایگذاری جرم در معادلات فوق به معادلات زیر می‌انجامد:

^۱. Killing vector



شکل ۲. نمودار تغییرات اندازحرکت زاویه‌ای J بر حسب پارامتر غیرخطی b . با جایگذاری مقادیر داده شده در نمودار برای سایر پارامترها در رابطه (۳.۱۹) مرجع [۲۴]، مقدار $J = 0.295575$ به دست می‌آید که مقدار مجانبی منحنی بالا است.

بنابراین می‌توان دریافت که قانون اول ترمودینامیک به شکل زیر برقرار است:

$$dM = TdS + \Omega dJ + \Phi dQ, \quad (43)$$

۳. بحث و نتیجه‌گیری

در این مقاله تعمیم‌هایی از ریسمان‌های سیاه چرخان باردار در گرانش اینشتینی مرتبه سه خمین، که به طور مجانبی پاد-دوسیته هستند، را در حضور چشمۀ غیرخطی بورن-اینفلد ساخته‌ایم و برخی خواص آنها را مورد مطالعه قرار داده‌ایم. نشان داده‌ایم که نظریه جواب‌هایی با یک تابع یکتا دارد که با یک معادله دیفرانسیل مرتبه دوم غیرخطی داده می‌شود. همچنین با استفاده از بسط تیلور تابع متريک و جایگذاری آن در معادله دیفرانسیل، برخی خواص ترمودینامیکی جواب‌ها را به طور تحلیلی به دست آورده‌ایم. از جمله این کمیت‌ها می‌توان به آنتروپیی والد و دمای هاوکینگ اشاره کرد که با روابط (۲۵) و (۲۶) داده می‌شوند. در حد $b \rightarrow \infty$ ، این کمیت‌ها به عبارات زیر می‌انجامند:

$$S = \frac{\pi r_h^3 \Xi}{4Gl} \left(1 - \frac{1}{l^2} G^2 \lambda \right), \quad T = \frac{1}{4\pi r_h^3 \Xi} \left(\frac{3r_h^4}{l^2} - Gq^2 \right), \quad (44)$$

که دقیقاً همان نتایج به دست آمده در [۲۴] در حضور میدان ماسکول هستند. از طرفی در حد $\lambda \rightarrow 0$ و $b \rightarrow \infty$ ، نیز این کمیت‌ها به:

در پایان بار الکترویکی کل ریسمان سیاه را محاسبه می‌کنیم. بدین منظور، ابتدا میدان الکترویکی را با تصویر تانسور شدت میدان الکترومغناطیسی روی یک ابرسطح خاص تعیین می‌کنیم. بردارهای نرمال روی چنین سطحی با

$$u^\circ = \frac{1}{N}, u^r = \circ, \quad u^i = -\frac{V^i}{N}, \quad , \quad (40)$$

داده می‌شوند. که در آن N و V^i به ترتیب تابع گذار و بردار انتقال هستند. میدان الکترویکی نیز با $E^\mu = g^{\mu\rho} F_{\rho\nu} u^\nu$ داده می‌شود. بار الکترویکی بر واحد طول ریسمان سیاه با محاسبه شار میدان الکترویکی در بیننهایت به دست می‌آید

$$Q = \frac{q\Xi}{l}, \quad (41)$$

اکنون در موقعیتی هستیم که می‌توانیم صحت قانون اول ترمودینامیک برای ریسمان‌های سیاه باردار چرخان را در گرانش اینشتینی مرتبه سه خمین بیازماییم. برقراری این قانون از این نظر اهمیت دارد که یک آزمون سازگاری بسیار قوی برای محاسبات فراهم می‌کند. با استفاده از فرمول اسمارگونه^۱ می‌توان دما، سرعت زاویه‌ای و پتانسیل الکترویکی را به شکل

زیر محاسبه کرد:

$$T = \left(\frac{\partial M}{\partial S} \right)_{J,Q}, \quad \Omega = \left(\frac{\partial M}{\partial J} \right)_{S,Q}, \quad \Phi = \left(\frac{\partial M}{\partial Q} \right)_{S,J}, \quad (42)$$

مشاهده می‌شود که کمیت‌های محاسبه شده در رابطه (۴۲) دقیقاً به ترتیب با معادلات (۲۶)، $\Omega = a/l^3 \Xi$ و (۳۹) منطبق هستند.

^۱. Smarr-type formula

نشان داده‌ایم که قانون اول ترمودینامیک برای ریسمان‌های سیاه چرخان باردار در گرانش اینشتینی مرتبه سه و در حضور الکترودینامیک غیرخطی بورن-اینفلد به شکل دقیق برقرار است. روابط (۴۳) تا (۴۶) یک ارزیابی قوی برای صحت محاسبات را به دست می‌دهند. همچنین به عنوان یک مطالعه در آینده می‌توان جواب‌های سیاه شامه‌ای چرخان باردار را در گرانش تعمیم‌یافته شبه‌توبولوژیک مرتبه سه خمث در حضور چشمۀ ماسکول و بورن-اینفلد مورد بررسی قرار داد.

$$S = \frac{\pi r_h^2 \Xi}{4Gl}, \quad T = \frac{1}{4\pi r_h^2 \Xi} \left(\frac{3r_h^2}{l^2} - Gq \right), \quad (45)$$

تقلیل می‌یابند که همان نتایج به دست آمده در [۲۰] برای جواب‌های ریسمان سیاه باردار در حضور گرانش اینشتین-ماکسول هستند. از طرف دیگر در غیاب میدان ماسکول یعنی $Q \rightarrow 0$ ، نیز می‌توان نوشت:

$$S = \frac{\pi r_h^2 \Xi}{4Gl}, \quad T = \frac{3r_h}{4\pi l^2 \Xi}, \quad (46)$$

که با نتایج به دست آمده در [۲۰] برای جواب‌های ریسمان سیاه باردار در حضور گرانش اینشتین همخوانی دارد. همچنین به عنوان یک آزمون سازگاری برای جواب‌های به دست آمده،

مراجع

1. D Lovelock, *J. Math. Phys.* **12** (1971) 498.
2. R C Myers and B Robinson, *J. High Energy Phys.* **2010**, **8** (2010) 1.
3. J Oliva and S Ray, *Class. Quant. Grav.* **27** (2010) 225002.
4. R A Hennigar, D Kubiznak, and R B Mann, *Phys. Rev. D* **95**, **10** (2017) 104042.
5. P Bueno and P A Cano, *Class. Quant. Grav.* **34**, **17** (2017) 175008.
6. J Ahmed, *et al.*, *J. High Energy Phys.* **2017**, **05** (2017) 1.
7. P Bueno and P A Cano, *Phys. Rev. D* **96**, **2** (2017) 024034.
8. P Bueno, P A Cano, and R A Hennigar, *Class. Quant. Grav.* **37**, **1** (2020) 015002.
9. P Bueno, *et al.*, *J. High Energy Phys.* **11** (2019) 062.
10. R A Hennigar, *J. High Energy Phys.* **09** (2017) 082.
11. M Mir and R B Mann, *J. High Energy Phys.* **07** (2019) 012.
12. M Mir, *et al.*, *J. High Energy Phys.* **08** (2019) 068.
13. P Bueno and P A Cano, *Phys. Rev. D* **94**, **10** (2016) 104005.
14. P Bueno and P A Cano, *Phys. Rev. D* **94**, **12** (2016) 124051.
15. R A Hennigar and R B Mann, *Phys. Rev. D* **95**, **6** (2017) 064055.
16. H Khodabakhshi, A Giaimo, and R B Mann, *Phys. Rev. D* **102**, **4** (2020) 044038.
17. H Khodabakhshi and R B Mann, *Phys. Rev. D* **103**, **2** (2021) 024017.
18. J P S Lemos, *Phys. Lett. B* **353** (1995) 46.
19. J P S Lemos and V T Zanchin, *Phys. Rev. D* **54** (1996) 3853.
20. M H Dehghani, *Phys. Rev. D* **66** (2002) 044006.
21. M H Dehghani and A Khoddam Mohammadi, *Phys. Rev. D* **67** (2003) 084006.
22. S H Hendi, *Phys. Rev. D* **82** (2010) 064040.
23. S H Hendi and A Sheykhi, *Phys. Rev. D* **88**, **4** (2013) 044044.
24. H R Bakhtiarizadeh, *Phys. Rev. D* **105**, **6** (2022) 064037.
25. T K Dey, *Phys. Lett. B* **595** (2004) 484.
26. R M Wald, *Phys. Rev. D* **48**, **8** (1993) R3427.
27. V Iyer and R M Wald, *Phys. Rev. D* **50** (1994) 846.